

Concentraciones de factores de crecimiento en plasma enriquecido con plaquetas, leucocitos o eritrocitos. Estudio descriptivo de 75 pacientes

Jesús Alcaraz¹
Antonio Oliver²
María Sánchez Jusana³
Jerónimo Lajara⁴

¹ Unidad de Hematología, Unión Murciana de Hospitales, Departamento de Hematología de la Facultad de Medicina de la Universidad Católica San Antonio, Murcia, España.

² Unidad de Neuroendocrinología, Hospital Rüber, Madrid, España.

³ Unidad de Hematología, Unión Murciana de Hospitales, Murcia, España.

⁴ Vicedecano de la Facultad de Medicina de La Universidad Católica San Antonio, Murcia, España.

RESUMEN

Antecedentes: el uso de los factores de crecimiento plaquetario con infinidad de aplicaciones clínicas se está abriendo paso con más fuerza, incluso muchas veces sobre pasando la evidencia científica existente. Aun así, existe un bajo control en el contenido final del producto obtenido. Los factores de crecimiento, o lo que comúnmente se denomina plasma rico en plaquetas (PRP), son medicamentos reconocidos por las distintas agencias estatales, no exento de efectos secundarios, lo que implica un perfecto conocimiento de las diferentes técnicas de obtención, así como de la composición final del producto obtenido para poder realizar un seguimiento o trazabilidad en el paciente.

Objetivo: analizar minuciosamente el contenido en factores de crecimiento de las distintas fracciones celulares de la sangre total centrifugada.

Material y método: estudio descriptivo, tipo serie de casos, que seleccionó una muestra de 75 pacientes de raza caucásica, 40 de género masculino, con límites de edad de 15 y 65 años, hematológicamente sanos, siguiendo las normas de inclusión analíticas para Autotransfusión de la Sociedad Española de Hematología y Hemoterapia en cuanto a controles bioquímicos, hematológicos y serológicos previos a la obtención de las muestras de sangre total.

Resultados: en el PRP rico en leucocitos se obtuvo una cantidad de factores de crecimiento final entre 7 y 10 veces mayor a las concentraciones basales del paciente, con una concentración casi 45% mayor para los factores TGF-β y VEGF; mientras en los plasmas ricos en plaquetas se observa un predominio casi 45% mayor de factores de crecimiento tipo PDGF-AB e IGF-1.

Conclusión: hubo predominio de factores de crecimiento tipo VEGF y TGF-β en el PRP enriquecido con leucocitos, mientras el PRP con predominio plaquetario-leucodeplecionados tiene mayores concentraciones de factores de crecimiento tipo PDGF-AB e IGF-1.

Palabras clave: plasma rico en leucocitos, plasma rico en plaquetas, factores de crecimiento, centrifugación, Medicina regenerativa.

Recibido: 18 de agosto 2015

Aceptado: 29 de octubre 2015

Correspondencia: Dr. Jesús Alcaraz
Carretera de Águilas
Buzón 252-B
30800 Lorca, Murcia, España
jesusalcaraz@telefonica.net

Este artículo debe citarse como

Alcaraz J, Oliver A, Sánchez-Jusana M, Lajara J. Concentraciones de factores de crecimiento en plasma enriquecido con plaquetas, leucocitos o eritrocitos. Estudio descriptivo en 75 pacientes. Rev Hematol Mex 2015;16:294-305.

Growth factor levels in plasma enriched with platelets, leukocytes or erythrocytes. Descriptive study of 75 patients

ABSTRACT

Background: The use of platelet growth factors for numerous clinical applications is emerging more strongly, even sometimes surpassing the existing scientific evidence. Still, there is under control in the final content of the product. The application of growth factors, or what is commonly called: platelet-rich-plasma (PRP) is a drug recognized by the different state agencies not without side effects; which implies a perfect knowledge of the different techniques of obtaining and the final composition of the product to track or trace in the patient.

Objective: To dissect the content in growth factors of different cell fractions of total blood centrifuged.

Material and method: A descriptive, serial of clinical cases study was done selecting a sample of 75 Caucasian patients, 40 male and 35 female with the rank of age between 15 and 65, haematologically healthy, following the analytical norms of inclusion for autotransfusion of the Spanish Society of Hematology and Hemotherapy about biochemical, haematological and serological previous to obtain samples of total blood.

Results: In the leukocyte-rich PRPs levels of final growth factors between 7-10 times higher than baseline patient was obtained, with a nearly 45% higher concentration factors type VEGF and TGF- β ; while platelet rich PRPs predominated almost 45% greater growth factors type PDGF-AB and IGF-1.

Conclusion: There was prevalence of VEGF and TGF- β growth factors in those enriched leukocyte PRPs, while platelet-PRPs, without leucocytes, have higher concentrations of growth factors type PDGF-AB and IGF-1.

Key words: platelet rich plasma, leukocyte rich plasma, centrifugation, growth factors, regenerative Medicine.

ANTECEDENTES

No cabe duda de que en la Medicina regenerativa, el uso de los factores de crecimiento plaquetario para infinidad de aplicaciones clínicas se está abriendo paso con más fuerza, incluso muchas veces sobrepasando la evidencia

científica existente para ello. El bajo control en el contenido final del producto obtenido, así como los diferentes procedimientos de elaboración para una misma aplicación clínica, ponen en duda la efectividad real propuesta para aquello en lo que se pretende utilizar; todo esto potenciado por una fuerte campaña propagandística

con claros fines lucrativos, donde todo vale para vender. No debemos olvidar que la aplicación de los factores de crecimiento o lo que comúnmente se denomina plasma rico en plaquetas (PRP) es un medicamento reconocido por las distintas agencias estatales, no exento de efectos secundarios para el paciente, lo que implica un perfecto conocimiento de las diferentes técnicas de obtención, así como de la composición final del producto obtenido para poder realizar un seguimiento o trazabilidad en el paciente al momento de vigilar los efectos clínicos y las posibles reacciones adversas.^{1,2} Esto permitiría, a su vez, que otros autores realicen estudios con la misma técnica utilizada y con una composición concreta del concentrado producido y validar de esta manera los potenciales efectos clínicos en los distintos campos médicos en los que se pretende utilizar.

El objetivo de este trabajo es analizar minuciosamente el contenido en factores de crecimiento de las distintas fracciones celulares de la sangre total centrifugada, para ver si, como dice la bibliografía, se encuentran diferencias en la composición final, con lo que podría hablarse de la obtención de un PRP a la carta y posteriormente estudiar con profundidad sus efectos clínicos en distintos pacientes, según la fisiopatología del proceso clínico en que se aplique.

MATERIAL Y MÉTODO

Estudio descriptivo, tipo serie de casos, en el que se seleccionó una muestra de 75 pacientes de raza caucásica, 40 de género masculino, con límites de edad de 15 y 65 años, hematológicamente sanos, siguiendo las normas de inclusión analíticas para Autotransfusión de la Sociedad Española de Hematología y Hemoterapia en cuanto a controles bioquímicos, hematológicos y serológicos previos a la obtención de las muestras de sangre total. Para la obtención de sangre se usó un sistema cerrado mediante Vacutainer®

conectado a un tubo de 3.5 mL con EDTA. Se utilizó acceso venoso antebraquial con aguja de 20 G. El procedimiento de obtención del PRP consistió en una centrifugación única de la muestra de sangre durante 30 minutos a 3,500 rpm con centrifuga de eje angular de 16 tubos serie CEMCON 2, según la técnica descrita por Alcaraz y su grupo en 2015² y micropipeteado de la fracción proteínica rica en factores de crecimiento plaquetario-plasmático y celular mediante técnica abierta en condiciones de asepsia en campana de flujo laminar horizontal grado A, a temperatura de 22°C. La muestra de pacientes se dividió en tres brazos: 1) plasma rico en plaquetas, 2) plasma rico en leucocitos y 3) plasma rico en eritrocitos. En el producto final obtenido se procedió al conteo celular mediante hemocitómetro tipo Coulter (Beckman), de plaquetas, leucocitos, granulocitos, monocitos y CD 34⁺/mm³, así como los siguientes factores de crecimiento plaquetarios: derivado de las plaquetas AB (PDGF-AB), transformante β (TGF-β), tipo insulina 1 (IGF-1) y del endotelio vascular (VEGF) utilizando equipos específicos de inmunoenzimoanálisis (ELISA). Las determinaciones se realizaron en situación basal, previo al tratamiento, de los PRPs obtenidos y serológicos de los pacientes a las 24 horas de su administración. La vía de inyección fue variada: intraarticular, endovenosa, intramuscular o subcutánea. Se hicieron cálculos estadísticos descriptivos para la interpretación de los datos analíticos en cada caso.

RESULTADOS

En los Cuadros 1 a 4 y Figuras 1 a 4 se observan los resultados obtenidos en los 75 pacientes en cuanto a la determinación de concentraciones de factores de crecimiento obtenidos con el valor máximo y mínimo, así como la media paramétral obtenida en situación basal y en el plasma rico en plaquetas (PRP) rico en leucocitos, plaquetas y eritrocitos, respectivamente, y en sangre a

Cuadro 1. Características reológicas de los pacientes en situación basal (continúa en la siguiente página)

| Paciente | PDGF-AB (10-50 pg/mL) | TGF-β1 (10-70 pg/mL) | IGF-1 (0.5-19.5 pg/mL) | VEGF (15-85 pg/mL) | Plaquetas (150,000- 350,000/mm³) | Leucocitos (3,200- 9,000/mm³) | Granulocitos /mm³ | Mononucleares /mm³ | CD 34+ /mm³ |
|----------|-----------------------------|----------------------------|------------------------------|--------------------------|--|-------------------------------------|----------------------|-----------------------|----------------|
| 1 | 45 | 60 | 18 | 80 | 210,000 | 7,500 | 4,875 | 1,275 | 0.9 |
| 2 | 40 | 25 | 10 | 45 | 210,000 | 6,500 | 3,575 | 1,625 | 0.3 |
| 3 | 43 | 55 | 17 | 80 | 190,000 | 6,230 | 3,738 | 1,246 | 0.4 |
| 4 | 43 | 67 | 15 | 75 | 170,000 | 7,500 | 4,500 | 1,125 | 0.5 |
| 5 | 15 | 25 | 7 | 30 | 180,000 | 8,900 | 5,340 | 1,335 | 0.3 |
| 6 | 35 | 24 | 12 | 40 | 175,000 | 8,900 | 5,340 | 1,956 | 0.2 |
| 7 | 20 | 15 | 7 | 30 | 260,000 | 7,200 | 4,320 | 1,440 | 0.2 |
| 8 | 30 | 20 | 7 | 35 | 176,000 | 7,430 | 4,458 | 1,114 | 0.4 |
| 9 | 91 | 60 | 16 | 75 | 350,000 | 7,430 | 4,086 | 1,337 | 0.7 |
| 10 | 45 | 55 | 18 | 70 | 195,000 | 9,500 | 5,700 | 1,425 | 0.7 |
| 11 | 35 | 20 | 15 | 40 | 205,000 | 8,300 | 4,980 | 1,909 | 0.2 |
| 12 | 12 | 15 | 4 | 25 | 250,000 | 8,500 | 5,100 | 1,890 | 0.1 |
| 13 | 45 | 60 | 17 | 75 | 240,000 | 8,700 | 5,481 | 1,131 | 0.7 |
| 14 | 43 | 55 | 17 | 70 | 300,000 | 7,600 | 4,560 | 1,140 | 0.4 |
| 15 | 15 | 55 | 18 | 70 | 214,907 | 7,500 | 4,500 | 1,500 | 0.2 |
| 16 | 42 | 67 | 18 | 87 | 220,659 | 7,590 | 4,109 | 1,221 | 0.8 |
| 17 | 41 | 21 | 10 | 44 | 215,401 | 6,201 | 3,600 | 1,624 | 0.5 |
| 18 | 44 | 53 | 17 | 88 | 195,793 | 6,013 | 3,490 | 1,276 | 0.8 |
| 19 | 40 | 66 | 15 | 74 | 181,098 | 7,901 | 4,501 | 1,112 | 0.2 |
| 20 | 17 | 22 | 7 | 32 | 191,209 | 8,587 | 5,354 | 1,309 | 0.6 |
| 21 | 37 | 23 | 12 | 43 | 175,397 | 8,401 | 5,176 | 1,966 | 0.6 |
| 22 | 25 | 17 | 7 | 31 | 262,981 | 7,010 | 4,012 | 1,490 | 0.6 |
| 23 | 33 | 22 | 7 | 33 | 169,127 | 7,091 | 4,301 | 1,830 | 0.5 |
| 24 | 99 | 68 | 16 | 77 | 339,129 | 7,178 | 4,912 | 1,900 | 0.9 |
| 25 | 41 | 52 | 18 | 76 | 184,091 | 9,280 | 5,769 | 1,421 | 0.8 |
| 26 | 32 | 21 | 15 | 40 | 200,436 | 8,120 | 4,210 | 1,932 | 0.4 |
| 27 | 11 | 13 | 4 | 23 | 251,465 | 8,401 | 5,300 | 1,890 | 0.2 |
| 28 | 47 | 69 | 17 | 72 | 201,154 | 8,598 | 5,900 | 1,900 | 0.5 |
| 29 | 45 | 51 | 17 | 79 | 330,012 | 7,901 | 4,390 | 1,140 | 0.4 |
| 30 | 19 | 57 | 18 | 75 | 260,123 | 7,689 | 4,211 | 1,500 | 0.5 |
| 31 | 40 | 62 | 18 | 82 | 218,013 | 7,211 | 4,600 | 1,275 | 0.8 |
| 32 | 43 | 21 | 10 | 43 | 219,032 | 6,480 | 3,410 | 1,625 | 0.3 |
| 33 | 48 | 52 | 17 | 81 | 191,913 | 6,219 | 3,800 | 1,219 | 0.7 |
| 34 | 42 | 62 | 15 | 73 | 171,934 | 7,500 | 4,212 | 1,119 | 0.6 |
| 35 | 12 | 28 | 7 | 31 | 187,091 | 8,967 | 5,012 | 1,321 | 0.8 |
| 36 | 33 | 22 | 12 | 42 | 175,708 | 8,941 | 5,900 | 1,780 | 0.6 |
| 37 | 22 | 18 | 7 | 39 | 260,000 | 7,212 | 4,150 | 1,503 | 0.9 |
| 38 | 39 | 27 | 7 | 33 | 174,814 | 7,012 | 4,800 | 1,145 | 0.5 |
| 39 | 99 | 67 | 16 | 76 | 255,060 | 7,432 | 4,120 | 1,903 | 0.6 |
| 40 | 47 | 51 | 18 | 71 | 195,000 | 9,019 | 5,500 | 1,093 | 0.5 |
| 41 | 34 | 29 | 15 | 44 | 260,124 | 8,190 | 4,123 | 1,012 | 0.4 |
| 42 | 15 | 14 | 4 | 22 | 255,098 | 8,122 | 5,450 | 1,701 | 0.5 |
| 43 | 45 | 65 | 17 | 78 | 243,981 | 8,000 | 5,911 | 1,016 | 0.8 |
| 44 | 43 | 51 | 17 | 79 | 317,321 | 7,801 | 4,012 | 1,045 | 0.5 |
| 45 | 15 | 55 | 18 | 71 | 217,877 | 7,546 | 4,560 | 1,501 | 0.3 |

Cuadro 1. Características reológicas de los pacientes en situación basal (continuación)

| Paciente | PDGF-AB (10-50 pg/mL) | TGF-β1 (10-70 pg/mL) | IGF-1 (0.5-19.5 pg/mL) | VEGF (15-85 pg/mL) | Plaquetas (150,000- 350,000/mm ³) | Leucocitos (3,200- 9,000/mm ³) | Granulocitos /mm ³ | Mononucleares /mm ³ | CD 34 ⁺ /mm ³ |
|----------|-----------------------------|----------------------------|------------------------------|--------------------------|---|--|----------------------------------|-----------------------------------|--|
| 46 | 45 | 69 | 18 | 89 | 212,066 | 7,209 | 4,900 | 1,200 | 0.8 |
| 47 | 40 | 27 | 10 | 45 | 217,912 | 6,109 | 3,123 | 1,601 | 0.4 |
| 48 | 43 | 53 | 17 | 89 | 190,543 | 6,320 | 3,800 | 1,222 | 0.5 |
| 49 | 43 | 60 | 15 | 74 | 178,913 | 7,591 | 4,911 | 1,125 | 0.4 |
| 50 | 15 | 20 | 7 | 33 | 188,912 | 8,011 | 5,901 | 1,333 | 0.5 |
| 51 | 20 | 15 | 7 | 30 | 260,000 | 7,200 | 4,320 | 1,440 | 0.2 |
| 52 | 30 | 20 | 7 | 35 | 176,000 | 7,430 | 4,458 | 1,114 | 0.4 |
| 53 | 91 | 60 | 16 | 75 | 350,000 | 7,430 | 4,086 | 1,337 | 0.7 |
| 54 | 45 | 55 | 18 | 70 | 195,000 | 9,500 | 5,700 | 1,425 | 0.7 |
| 55 | 35 | 20 | 15 | 40 | 205,000 | 8,300 | 4,980 | 1,909 | 0.2 |
| 56 | 12 | 15 | 4 | 25 | 250,000 | 8,500 | 5,100 | 1,890 | 0.1 |
| 57 | 45 | 60 | 17 | 75 | 240,000 | 8,700 | 5,481 | 1,131 | 0.7 |
| 58 | 43 | 55 | 17 | 70 | 300,000 | 7,600 | 4,560 | 1,140 | 0.4 |
| 59 | 15 | 55 | 18 | 70 | 210,000 | 7,500 | 4,500 | 1,500 | 0.2 |
| 60 | 45 | 60 | 18 | 80 | 210,000 | 7,500 | 4,875 | 1,275 | 0.9 |
| 61 | 40 | 25 | 10 | 45 | 210,000 | 6,500 | 3,575 | 1,625 | 0.3 |
| 62 | 43 | 55 | 17 | 80 | 190,000 | 6,230 | 3,738 | 1,246 | 0.4 |
| 63 | 43 | 67 | 15 | 75 | 170,000 | 7,500 | 4,500 | 1,125 | 0.5 |
| 64 | 15 | 25 | 7 | 30 | 180,000 | 8,900 | 5,340 | 1,335 | 0.3 |
| 65 | 35 | 24 | 12 | 40 | 175,000 | 8,900 | 5,340 | 1,956 | 0.2 |
| 66 | 20 | 15 | 7 | 30 | 260,000 | 7,200 | 4,320 | 1,440 | 0.2 |
| 67 | 30 | 20 | 7 | 35 | 176,000 | 7,430 | 4,458 | 1,114 | 0.4 |
| 68 | 91 | 60 | 16 | 75 | 350,000 | 7,430 | 4,086 | 1,337 | 0.7 |
| 69 | 45 | 55 | 18 | 70 | 195,000 | 9,500 | 5,700 | 1,425 | 0.7 |
| 70 | 35 | 20 | 15 | 40 | 205,000 | 8,300 | 4,980 | 1,909 | 0.2 |
| 71 | 12 | 15 | 4 | 25 | 250,000 | 8,500 | 5,100 | 1,890 | 0.1 |
| 72 | 45 | 60 | 17 | 75 | 240,000 | 8,700 | 5,481 | 1,131 | 0.7 |
| 73 | 43 | 55 | 17 | 70 | 300,000 | 7,600 | 4,560 | 1,140 | 0.4 |
| 74 | 15 | 55 | 18 | 70 | 210,000 | 7,500 | 4,500 | 1,500 | 0.2 |
| 75 | 15 | 55 | 18 | 70 | 210,000 | 7,500 | 4,500 | 1,500 | 0.2 |
| Máximo | 99 | 69 | 18 | 89 | 350,000 | 9,500 | 5,911 | 1,966 | 0.9 |
| Mínimo | 11 | 13 | 4 | 22 | 169,127 | 6,013 | 3,123 | 1,012 | 0.1 |
| Media | 32.75 | 36.09 | 12.14 | 53.03 | 259,563 | 7,709 | 4,619 | 1,405 | 0.5 |

las 24 horas del tratamiento en cada paciente. No se observó correlación entre la cantidad de plaquetas concentradas y la cantidad de factores de crecimiento en cada tipo de PRP enriquecido obtenido finalmente. En el PRP rico en leucocitos, con media de concentración leucocitaria de 22,000/mm³ (Figura 5), 80% de los cuales son mononucleares, con 15% positivos para el

marcador CD 34⁺, se obtuvo una cantidad de factores de crecimiento final entre 7 y 10 veces mayor a las concentraciones basales del paciente, con una concentración casi 45% mayor de los factores TGF-β y VEGF (Cuadro 2 y Figura 2) que en el PRP rico en plaquetas, mientras estos últimos tuvieron una cantidad media de 1,400,000 plaquetas/mm³ (Figura 6). Si bien se obtuvo

Cuadro 2. Características reológicas del plasma rico en plaquetas rico en leucocitos

| Paciente | PDGF-AB (10-50 pg/mL) | TGF-β1 (10-70 pg/mL) | IGF-1 (0.5-19.5 pg/mL) | VEGF (15-85 pg/mL) | Plaquetas (150,000- 350,000/mm³) | Leucocitos (3,200-9,000/ mm³) | Granulocitos /mm³ | Mononucleares /mm³ | CD 34+ /mm³ |
|----------|-----------------------------|----------------------------|------------------------------|--------------------------|--|-------------------------------------|----------------------|-----------------------|----------------|
| 1 | 296 | 450 | 250 | 575 | 500,000 | 21,000 | 3,150 | 18,270 | 240 |
| 2 | 270 | 300 | 150 | 545 | 600,000 | 22,000 | 4,400 | 16,500 | 180 |
| 3 | 190 | 370 | 200 | 590 | 500,000 | 21,000 | 3,150 | 16,800 | 270 |
| 4 | 250 | 480 | 190 | 540 | 400,000 | 20,000 | 4,000 | 17,400 | 210 |
| 5 | 150 | 365 | 110 | 460 | 600,000 | 21,000 | 4,200 | 14,700 | 170 |
| 6 | 160 | 370 | 160 | 530 | 500,000 | 24,000 | 6,000 | 19,200 | 175 |
| 7 | 200 | 390 | 120 | 470 | 400,000 | 21,500 | 4,515 | 15,910 | 170 |
| 8 | 150 | 350 | 105 | 390 | 700,000 | 21,500 | 3,440 | 12,900 | 120 |
| 9 | 253 | 520 | 277 | 590 | 600,000 | 21,500 | 4,085 | 18,705 | 215 |
| 10 | 220 | 470 | 210 | 590 | 700,000 | 24,000 | 3,600 | 20,400 | 200 |
| 11 | 150 | 370 | 160 | 480 | 690,000 | 23,000 | 4,600 | 17,940 | 150 |
| 12 | 190 | 350 | 190 | 320 | 500,000 | 20,000 | 4,000 | 12,000 | 70 |
| 13 | 280 | 420 | 230 | 570 | 710,000 | 22,000 | 3,300 | 18,700 | 200 |
| 14 | 250 | 420 | 199 | 570 | 650,000 | 22,000 | 4,400 | 16,500 | 185 |
| 15 | 245 | 430 | 190 | 590 | 570,000 | 23,000 | 4,370 | 19,550 | 200 |
| 16 | 280 | 459 | 253 | 590 | 620,000 | 21,000 | 3,100 | 18,500 | 240 |
| 17 | 270 | 380 | 153 | 580 | 660,000 | 22,600 | 4,500 | 16,700 | 180 |
| 18 | 250 | 390 | 290 | 570 | 710,000 | 27,000 | 3,000 | 16,500 | 270 |
| 19 | 230 | 490 | 170 | 590 | 630,000 | 20,900 | 4,900 | 17,900 | 210 |
| 20 | 220 | 390 | 100 | 499 | 700,000 | 21,530 | 4,100 | 14,500 | 259 |
| 21 | 130 | 380 | 190 | 580 | 610,000 | 24,070 | 6,400 | 19,900 | 300 |
| 22 | 210 | 290 | 100 | 489 | 730,000 | 26,700 | 4,400 | 15,900 | 350 |
| 23 | 230 | 400 | 103 | 391 | 630,000 | 25,000 | 3,500 | 12,480 | 270 |
| 24 | 240 | 590 | 240 | 570 | 730,000 | 22,700 | 4,001 | 18,400 | 200 |
| 25 | 200 | 490 | 200 | 510 | 670,000 | 23,000 | 3,670 | 20,900 | 290 |
| Máximo | 296 | 590 | 290 | 590 | 730,000 | 27,000 | 6,400 | 20,900 | 350 |
| Mínimo | 130 | 290 | 100 | 320 | 400,000 | 20,000 | 3,000 | 12,000 | 70 |
| Media | 215.39 | 407.19 | 172.82 | 521.32 | 604,147 | 22,411 | 4,038 | 16,913 | 203 |

una tasa de concentración final de factores de crecimiento entre 7 y 10 veces mayor que en situación basal, como en los plasmas leucocitarios, se observó predominio casi 45% mayor de factores de crecimiento tipo PDGF-AB e IGF-1 (Cuadro 3 y Figura 3). Las concentraciones de factores de crecimiento se mantuvieron estables en la sangre de cada paciente a las 24 horas del tratamiento entre 7 y 9 veces mayores respecto a la situación basal en los que se administró PRP rico en leucocitos (Cuadro 5 y Figura 7) y en plaquetas (Cuadro 6 y Figura 8). No se observó mayor concentración de interés en los factores de crecimiento estudiados en los plasmas en-

riquecidos en eritrocitos, con concentraciones casi similares a las de la situación basal en cada paciente (Cuadro 4 y Figura 4).

DISCUSIÓN

Como hipotetizaron otros autores, parece demostrarse que el plasma rico en plaquetas (PRP) concentra mayores factores de crecimiento tipo PDGF-AB e IGF-1, mientras que en el PRP enriquecido con leucocitos hay predominio de mononucleares y de factores de crecimiento tipo VEGF y TGF-β.¹⁻³ Aunque el tamaño de muestra es pequeño y aún no se sabe con certeza la

Cuadro 3. Características reológicas del plasma rico en plaquetas

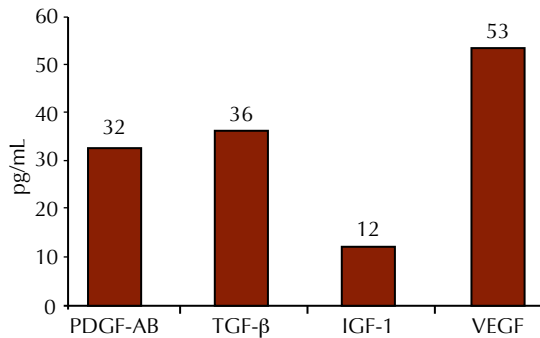
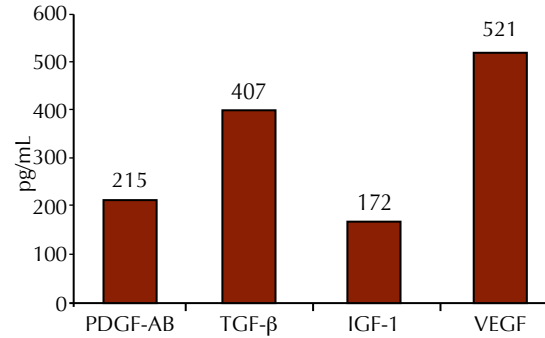
| Paciente | PDGF-AB (10-50 pg/mL) | TGF-β1 (10-70 pg/mL) | IGF-1 (0.5-19.5 pg/mL) | VEGF (15-85 pg/mL) | Plaquetas (150,000- 350,000/mm³) | Leucocitos (3,200-9,000/ mm³) | Granulocitos /mm³ | Mononucleares /mm³ | CD 34+ /mm³ |
|----------|-----------------------------|----------------------------|------------------------------|--------------------------|--|-------------------------------------|----------------------|-----------------------|-------------------|
| 1 | 559 | 150 | 550 | 275 | 1,500,000 | 1,000 | 150 | 100 | 0.0 |
| 2 | 400 | 100 | 650 | 145 | 1,600,000 | 2,000 | 400 | 160 | 0.0 |
| 3 | 420 | 170 | 500 | 190 | 1,500,000 | 1,000 | 150 | 100 | 0.0 |
| 4 | 500 | 180 | 590 | 240 | 1,400,000 | 2,000 | 400 | 174 | 0.0 |
| 5 | 490 | 165 | 310 | 260 | 1,600,000 | 1,000 | 420 | 147 | 0.0 |
| 6 | 530 | 170 | 460 | 230 | 1,500,000 | 2,400 | 600 | 192 | 0.0 |
| 7 | 450 | 150 | 420 | 170 | 1,400,000 | 2,150 | 451 | 159 | 0.0 |
| 8 | 400 | 135 | 405 | 190 | 1,300,000 | 2,150 | 344 | 129 | 0.0 |
| 9 | 500 | 220 | 477 | 290 | 1,500,000 | 1,150 | 408 | 187 | 0.0 |
| 10 | 530 | 270 | 410 | 290 | 1,200,000 | 2,400 | 360 | 204 | 0.0 |
| 11 | 450 | 170 | 360 | 280 | 1,600,000 | 1,300 | 460 | 179 | 0.0 |
| 12 | 470 | 150 | 300 | 220 | 1,501,000 | 2,000 | 400 | 120 | 0.0 |
| 13 | 550 | 120 | 330 | 270 | 1,410,000 | 2,200 | 330 | 187 | 0.0 |
| 14 | 550 | 220 | 409 | 270 | 1,600,000 | 2,200 | 440 | 160 | 0.0 |
| 15 | 500 | 230 | 490 | 290 | 1,500,000 | 1,300 | 437 | 195 | 0.0 |
| 16 | 530 | 259 | 553 | 290 | 1,320,000 | 2,100 | 310 | 185 | 0.0 |
| 17 | 500 | 180 | 453 | 280 | 1,550,000 | 2,260 | 450 | 167 | 0.0 |
| 18 | 400 | 190 | 490 | 270 | 1,600,000 | 1,700 | 300 | 165 | 0.0 |
| 19 | 590 | 290 | 470 | 290 | 1,450,000 | 2,090 | 490 | 170 | 0.0 |
| 20 | 550 | 190 | 400 | 199 | 1,300,000 | 2,153 | 410 | 145 | 0.0 |
| 21 | 450 | 190 | 490 | 280 | 1,400,000 | 1,407 | 640 | 199 | 0.0 |
| 22 | 490 | 150 | 300 | 189 | 1,500,000 | 1,670 | 440 | 159 | 0.0 |
| 23 | 490 | 200 | 403 | 291 | 1,400,000 | 1,500 | 350 | 124 | 0.0 |
| 24 | 500 | 290 | 440 | 270 | 1,500,000 | 1,700 | 400 | 184 | 0.0 |
| 25 | 450 | 190 | 400 | 210 | 1,500,000 | 1,300 | 367 | 209 | 0.0 |
| Máximo | 480 | 450 | 200 | 505 | 290,000 | 8,900 | 4,000 | 2,000 | 20 |
| Mínimo | 135 | 120 | 55 | 200 | 190,000 | 3,950 | 3,100 | 1,600 | 5 |
| Media | 306,8 | 272,7 | 127,3 | 415,45 | 223,602 | 7,638 | 3,629 | 1,768 | 11 |

correlación clínica de la existencia de estas proteínas en el plasma que nos permita establecer un perfil de aplicación en el tratamiento de diversas enfermedades, parece vislumbrarse que el predominio de factores tipo TGF-β y VEGF con potencia proangiogénica e inmunomoduladora de la apoptosis más evidente podría ser útil en el tratamiento de enfermedades de etiopatogenia isquémica, en las que la neoformación vascular y la regulación de la supervivencia celular juegan un papel importante en la fisiopatología de las mismas.^{4,5} Asimismo, la mayor existencia de factores de crecimiento tipo IGF-1 y PDGF-AB,

con mayor capacidad de inducir la diferenciación y regeneración celular, sería más útil en el tratamiento de enfermedades cuya base etiopatogénica sea la degeneración o involución celular.^{6,7} Se necesitan estudios más estrictos en Medicina traslacional para que en un futuro conozcamos el verdadero funcionamiento fisiológico de estas proteínas y su acción en el ciclo celular. En la mayoría de los casos la existencia de unos y otros factores de crecimiento se complementan de manera auto o paracrína, lo que se traduce en fenómenos de inmunomodulación, multiplicación y diferenciación celular.

Cuadro 4. Características reológicas del plasma rico en plaquetas rico en eritrocitos

| Paciente | PDGF-AB (10-50 pg/mL) | TGF-β1 (10-70 pg/mL) | IGF-1 (0.5-19.5 pg/mL) | VEGF (15-85 pg/mL) | Plaquetas (150,000-350,000/ mm ³) | Leucocitos (3,200-9,000/ mm ³) | Granulocitos /mm ³ | Mononucleares /mm ³ |
|----------|-----------------------------|----------------------------|------------------------------|--------------------------|---|--|----------------------------------|-----------------------------------|
| 1 | 72 | 15 | 55 | 27 | 1,500 | 10 | 1 | 3,500,000 |
| 2 | 60 | 10 | 65 | 14 | 1,600 | 20 | 4 | 3,780,000 |
| 3 | 62 | 17 | 50 | 19 | 1,500 | 10 | 1 | 3,100,000 |
| 4 | 70 | 18 | 59 | 24 | 1,400 | 20 | 4 | 3,900,000 |
| 5 | 59 | 16 | 3 | 26 | 1,600 | 10 | 4 | 4,000,000 |
| 6 | 73 | 17 | 46 | 23 | 1,500 | 24 | 6 | 3,900,000 |
| 7 | 65 | 15 | 42 | 17 | 1,400 | 21 | 4 | 2,900,000 |
| 8 | 60 | 13 | 40 | 19 | 1,300 | 21 | 3 | 3,100,000 |
| 9 | 80 | 22 | 47 | 29 | 1,500 | 11 | 4 | 3,000,000 |
| 10 | 83 | 27 | 41 | 29 | 1,200 | 24 | 3 | 4,000,000 |
| 11 | 65 | 17 | 36 | 28 | 1,600 | 13 | 4 | 4,100,000 |
| 12 | 67 | 15 | 30 | 22 | 1,501 | 20 | 4 | 3,800,000 |
| 13 | 75 | 12 | 33 | 27 | 1,410 | 22 | 3 | 4,000,000 |
| 14 | 88 | 22 | 40 | 27 | 1,600 | 22 | 4 | 3,600,000 |
| 15 | 70 | 23 | 49 | 29 | 1,500 | 13 | 4 | 3,500,000 |
| 16 | 80 | 25 | 55 | 29 | 1,320 | 21 | 3 | 3,400,000 |
| 17 | 80 | 18 | 45 | 28 | 1,550 | 22 | 4 | 3,300,000 |
| 18 | 70 | 19 | 49 | 27 | 1,600 | 17 | 3 | 3,800,000 |
| 19 | 89 | 29 | 47 | 29 | 1,450 | 20 | 4 | 3,700,000 |
| 20 | 75 | 19 | 40 | 19 | 1,300 | 21 | 4 | 3,900,000 |
| 21 | 65 | 19 | 49 | 28 | 1,400 | 14 | 6 | 4,000,000 |
| 22 | 69 | 15 | 30 | 18 | 1,500 | 16 | 4 | 3,600,000 |
| 23 | 69 | 20 | 40 | 29 | 1,400 | 15 | 3 | 3,700,000 |
| 24 | 90 | 29 | 44 | 27 | 1,500 | 17 | 4 | 3,500,000 |
| 25 | 65 | 19 | 40 | 21 | 1,500 | 13 | 3 | 2,320,000 |
| Máximo | 90 | 29 | 65 | 29 | 1,600 | 24 | 6 | 4,100,000 |
| Mínimo | 59 | 10 | 3 | 14 | 1,200 | 10 | 1 | 2,320,000 |
| Media | 71.49 | 18.23 | 39.41 | 24.12 | 1,461 | 16 | 3 | 3,548,203 |

**Figura 1.** Concentraciones medias séricas de factores de crecimiento en los 75 pacientes.**Figura 2.** Concentraciones medias de factores de crecimiento en plasma rico en plaquetas rico en leucocitos.

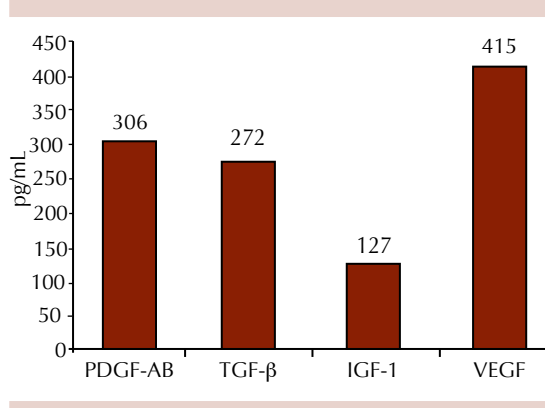


Figura 3. Concentraciones medias de factores de crecimiento en plasma rico en plaquetas.

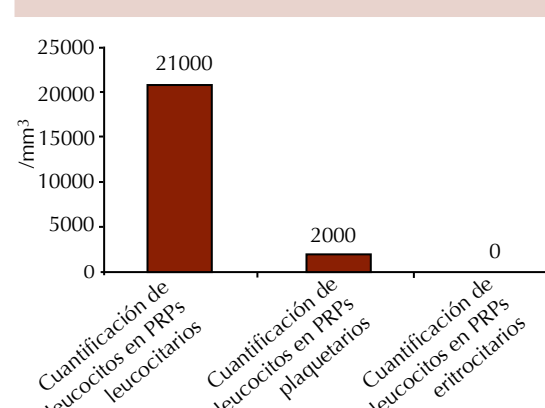


Figura 5. Conteo medio leucocitario en los diferentes plasmas ricos en plaquetas enriquecidos.

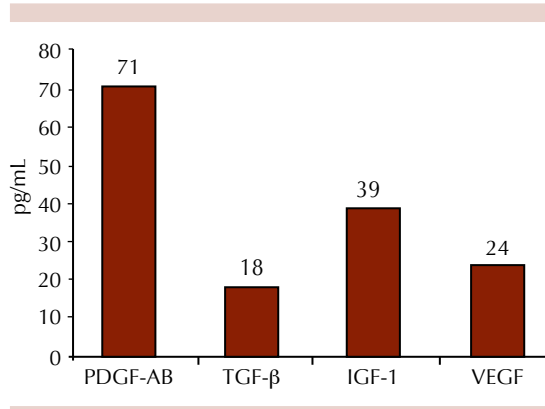


Figura 4. Concentraciones medias de factores de crecimiento en plasma rico en plaquetas rico en eritrocitos.

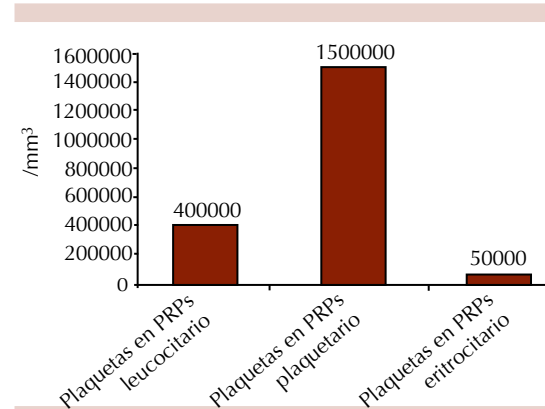


Figura 6. Conteo medio plaquetario en los diferentes plasmas ricos en plaquetas enriquecidos.

Cuadro 5. Características séricas de los pacientes 24 horas después de la administración de plasma rico en plaquetas rico en leucocitos (continúa en la siguiente página)

| Paciente | PDGF-AB (10-50 pg/mL) | TGF-β1 (10-70 pg/mL) | IGF-1 (0.5-19.5 pg/mL) | VEGF (15-85 pg/mL) | Plaquetas (150,000-350,000/ mm³) | Leucocitos (3,200-9,000/ mm³) | Granulocitos /mm³ | Mononucleares /mm³ | CD 34+ /mm³ |
|----------|-----------------------------|----------------------------|------------------------------|--------------------------|--|-------------------------------------|----------------------|-----------------------|----------------|
| 1 | 200 | 420 | 220 | 530 | 200,436 | 8,120 | 4,210 | 1,932 | 0.4 |
| 2 | 230 | 270 | 130 | 510 | 251,465 | 8,401 | 5,300 | 1,890 | 0.2 |
| 3 | 120 | 320 | 180 | 520 | 201,154 | 8,598 | 5,900 | 1,900 | 0.5 |
| 4 | 200 | 440 | 150 | 500 | 330,012 | 7,901 | 4,390 | 1,140 | 0.4 |
| 5 | 110 | 325 | 100 | 420 | 260,123 | 7,689 | 4,211 | 1,500 | 0.5 |
| 6 | 110 | 340 | 140 | 510 | 218,013 | 7,211 | 4,600 | 1,275 | 0.8 |
| 7 | 160 | 360 | 100 | 430 | 219,032 | 6,480 | 3,410 | 1,625 | 0.3 |

Cuadro 5. Características séricas de los pacientes 24 horas después de la administración de plasma rico en plaquetas rico en leucocitos (continuación)

| Paciente | PDGF-AB (10-50 pg/mL) | TGF-β1 (10-70 pg/mL) | IGF-1 (0.5-19.5 pg/mL) | VEGF (15-85 pg/mL) | Plaquetas (150,000-350,000/ mm ³) | Leucocitos (3,200-9,000/ mm ³) | Granulocitos /mm ³ | Mononucleares /mm ³ | CD 34 ⁺ /mm ³ |
|----------|-----------------------------|----------------------------|------------------------------|--------------------------|---|--|----------------------------------|-----------------------------------|--|
| 8 | 110 | 320 | 99 | 350 | 191,913 | 6,219 | 3,800 | 1,219 | 0.7 |
| 9 | 203 | 500 | 250 | 530 | 171,934 | 7,500 | 4,212 | 1,119 | 0.6 |
| 10 | 190 | 420 | 200 | 560 | 187,091 | 8,967 | 5,012 | 1,321 | 0.8 |
| 11 | 110 | 350 | 130 | 440 | 175,708 | 8,941 | 5,900 | 1,780 | 0.6 |
| 12 | 120 | 300 | 170 | 300 | 260,000 | 7,212 | 4,150 | 1,503 | 0.9 |
| 13 | 220 | 400 | 200 | 520 | 174,814 | 7,012 | 4,800 | 1,145 | 0.5 |
| 14 | 210 | 410 | 180 | 550 | 255,060 | 7,432 | 4,120 | 1,903 | 0.6 |
| 15 | 215 | 400 | 170 | 540 | 195,000 | 9,019 | 5,500 | 1,093 | 0.5 |
| 16 | 220 | 409 | 240 | 540 | 260,124 | 8,190 | 4,123 | 1,012 | 0.4 |
| 17 | 220 | 350 | 130 | 530 | 255,098 | 8,122 | 5,450 | 1,701 | 0.5 |
| 18 | 230 | 360 | 250 | 530 | 243,981 | 8,000 | 5,911 | 1,016 | 0.8 |
| 19 | 200 | 450 | 140 | 540 | 317,321 | 7,801 | 4,012 | 1,045 | 0.5 |
| 20 | 190 | 350 | 90 | 445 | 217,877 | 7,546 | 4,560 | 1,501 | 0.3 |
| 21 | 100 | 330 | 150 | 550 | 212,066 | 7,209 | 4,900 | 1,200 | 0.8 |
| 22 | 180 | 270 | 98 | 440 | 217,912 | 6,109 | 3,123 | 1,601 | 0.4 |
| 23 | 190 | 350 | 99 | 340 | 190,543 | 6,320 | 3,800 | 1,222 | 0.5 |
| 24 | 190 | 520 | 210 | 530 | 178,913 | 7,591 | 4,911 | 1,125 | 0.4 |
| 25 | 170 | 430 | 180 | 500 | 188,912 | 8,011 | 5,901 | 1,333 | 0.5 |
| Máximo | 230 | 450 | 200 | 505 | 290,000 | 8,900 | 4,000 | 2,000 | 20 |
| Mínimo | 100 | 120 | 55 | 200 | 190,000 | 3,950 | 3,100 | 1,600 | 5 |
| Media | 169.74 | 272.7 | 127.3 | 415.45 | 223,602 | 7,638 | 3,629 | 1,768 | 11 |

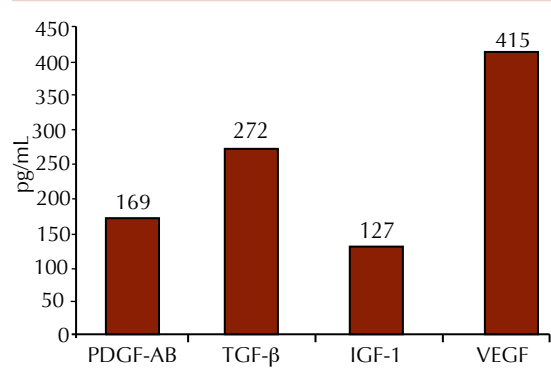


Figura 7. Concentraciones séricas medias de factores de crecimiento a las 24 horas de tratamiento en pacientes en los que se administró plasma rico en plaquetas rico en leucocitos.

CONCLUSIÓN

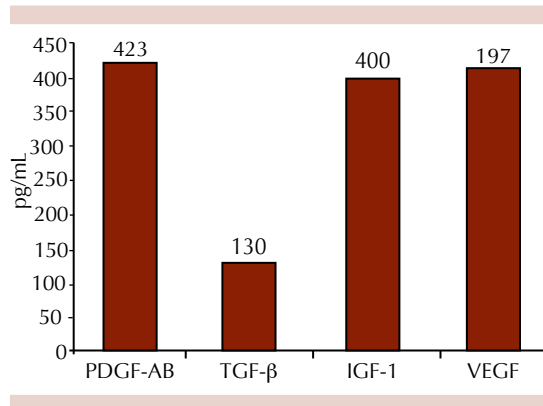
Según los resultados obtenidos, hay predominio de factores de crecimiento tipo VEGF y TGF-β en el plasma rico en plaquetas enriquecido con leucocitos, mientras el plasma rico en plaquetas con predominio plaquetario leucodeplecionado tiene mayores concentraciones de factores de crecimiento tipo PDGF-AB e IGF-1.

Agradecimientos

A mi mujer y a mi hijo, por su paciencia y dedicación, por su estímulo y ánimo, sin los cuales no hubiera sido posible la ejecución de este artículo.

Cuadro 6. Características séricas de los pacientes 24 horas después de la administración de plasma rico en plaquetas

| Paciente | PDGF-AB (10-50 pg/mL) | TGF-β1 (10-70 pg/mL) | IGF-1 (0.5-19.5 pg/mL) | VEGF (15-85 pg/mL) | Plaquetas (150,000-350,000/ mm ³) | Leucocitos (3,200-9,000/ mm ³) | Granulocitos /mm ³ | Mononucleares /mm ³ | CD 34+ /mm ³ |
|----------|--------------------------|-------------------------|---------------------------|-----------------------|---|--|----------------------------------|-----------------------------------|----------------------------|
| 1 | 490 | 110 | 520 | 220 | 260,000 | 7,200 | 4,320 | 1,440 | 0.2 |
| 2 | 370 | 90 | 620 | 110 | 176,000 | 7,430 | 4,458 | 1,114 | 0.4 |
| 3 | 380 | 120 | 480 | 150 | 350,000 | 7,430 | 4,086 | 1,337 | 0.7 |
| 4 | 400 | 130 | 540 | 220 | 195,000 | 9,500 | 5,700 | 1,425 | 0.7 |
| 5 | 420 | 100 | 280 | 230 | 205,000 | 8,300 | 4,980 | 1,909 | 0.2 |
| 6 | 480 | 120 | 420 | 200 | 250,000 | 8,500 | 5,100 | 1,890 | 0.1 |
| 7 | 400 | 110 | 380 | 130 | 240,000 | 8,700 | 5,481 | 1,131 | 0.7 |
| 8 | 350 | 110 | 370 | 110 | 300,000 | 7,600 | 4,560 | 1,140 | 0.4 |
| 9 | 400 | 200 | 420 | 240 | 210,000 | 7,500 | 4,500 | 1,500 | 0.2 |
| 10 | 480 | 22 | 380 | 250 | 210,000 | 7,500 | 4,875 | 1,275 | 0.9 |
| 11 | 410 | 130 | 320 | 225 | 210,000 | 6,500 | 3,575 | 1,625 | 0.3 |
| 12 | 420 | 110 | 270 | 190 | 190,000 | 6,230 | 3,738 | 1,246 | 0.4 |
| 13 | 470 | 100 | 280 | 220 | 170,000 | 7,500 | 4,500 | 1,125 | 0.5 |
| 14 | 420 | 200 | 380 | 215 | 180,000 | 8,900 | 5,340 | 1,335 | 0.3 |
| 15 | 450 | 215 | 470 | 230 | 175,000 | 8,900 | 5,340 | 1,956 | 0.2 |
| 16 | 480 | 220 | 520 | 245 | 260,000 | 7,200 | 4,320 | 1,440 | 0.2 |
| 17 | 460 | 140 | 420 | 230 | 176,000 | 7,430 | 4,458 | 1,114 | 0.4 |
| 18 | 350 | 130 | 430 | 220 | 350,000 | 7,430 | 4,086 | 1,337 | 0.7 |
| 19 | 460 | 245 | 410 | 240 | 195,000 | 9,500 | 5,700 | 1,425 | 0.7 |
| 20 | 480 | 150 | 350 | 150 | 205,000 | 8,300 | 4,980 | 1,909 | 0.2 |
| 21 | 410 | 140 | 450 | 240 | 250,000 | 8,500 | 5,100 | 1,890 | 0.1 |
| 22 | 420 | 110 | 320 | 150 | 240,000 | 8,700 | 5,481 | 1,131 | 0.7 |
| 23 | 430 | 150 | 370 | 250 | 300,000 | 7,600 | 4,560 | 1,140 | 0.4 |
| 24 | 400 | 240 | 480 | 230 | 210,000 | 7,500 | 4,500 | 1,500 | 0.2 |
| 25 | 410 | 150 | 350 | 180 | 210,000 | 7,500 | 4,500 | 1,500 | 0.2 |
| Máximo | 490 | 245 | 620 | 250 | 350,000 | 9,500 | 5,700 | 1,956 | 0.9 |
| Mínimo | 350 | 22 | 270 | 110 | 170,000 | 6,230 | 3,575 | 1,114 | 0.1 |
| Media | 423,64 | 130.26 | 400.33 | 197 | 223,703 | 7,851 | 4,694 | 1,407 | 0.5 |

**Figura 8.** Concentraciones séricas medias de factores de crecimiento en pacientes en los que se administró plasma rico en plaquetas.

REFERENCIAS

1. Beca T, Hernández G, Morante S, Bascones A. Plasma rico en plaquetas. Revision bibliográfica. Av Periodon Implantol 2007;19:39-52.
2. Alcaraz J, Oliver A, Sánchez JM, Lajara J. Clinical use of platelet-rich plasma: A new dimension in Regenerative Medicine. Med Sci Rev 2015;2:111-120.
3. Alcaraz J, Oliver A, Sánchez JM. Nuevo método de obtención de plasma rico en factores de crecimiento plaquetario (PRP). Estudio descriptivo en 15 pacientes y comparación con los resultados publicados en la bibliografía. Rev Hematol Mex 2015;16:210-216.
4. Anitua E, Prado R, Sánchez M, Orive G. Platelet-rich plasma: preparation and formulation. Oper Tech Orthop 2012;22:25-32.
5. Everts PA, Brown Mahoney C, Hoffmann JJ, Schonberger JP, et al. Platelet-rich plasma preparation using three devices:

- implications for platelets activation and platelet growth factors release. *Growth Factors* 2006;24:165-171.
6. Weibrich G, Kleiss WKG, Hafner G, Hitzler WE. Growth factors level in platelets-rich plasma and correlations with donor age, sex and platelets count. *J Cranomaxillofac Surg* 2002;30:97-102.
7. González-Villalva A. Capítulo 6. Sangre. En: Fortoul y Castell. *Histología y Biología celular*. México: McGraw-Hill Interamericana, 2010;147-154.